

## ОСОБЕННОСТИ ТРЕХМАГНОННОГО ПАРАМЕТРИЧЕСКОГО РАСПАДА ВОЛН НАМАГНИЧЕННОСТИ В ПЛЕНКАХ ЖИГ ПРИ ИМПУЛЬСНОМ ВОЗБУЖДЕНИИ

Н.Г. Ковшиков, П.А. Колодин,  
А.Н. Славин

В последние годы процессы трехмагнонного параметрического распада бегущих волн намагниченности в пленках железо-иттриевого граната (ЖИГ) активно изучаются как теоретически, так и экспериментально в связи с возможностью использования этих процессов для построения принципиально новых нелинейных устройств обработки сигналов [1].

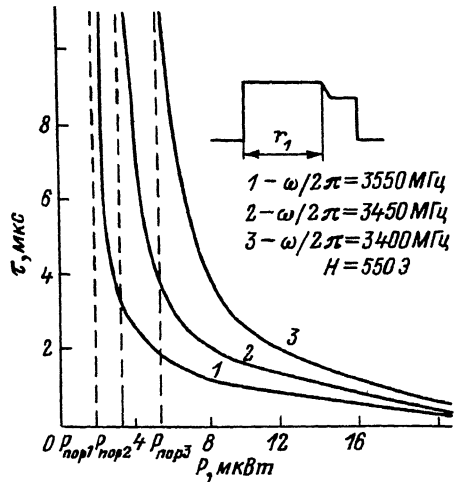
В теоретических работах, а также с помощью измерений, проведенных при непрерывном возбуждении, установлено, что трехмагнонные параметрические процессы в ферромагнитных пленках (ФП) отличаются от аналогичных процессов в „объемных“ ферромагнетиках [2] рядом существенных особенностей, связанных с дискретностью спектра волн намагниченности в ФП [3–5] и локальным характером возбуждения этих волн полем микрополосковой антенны [6, 7]. Измерения частотных зависимостей мощностных порогов трехмагнонного параметрического распада в ФП, выполненные в импульсном [8] и непрерывном [9] режимах, показали существование широких частотных областей с очень низкими величинами порогов. Минимальные значения пороговых мощностей для высококачественных пленок ЖИГ ( $2\Delta H = 0.3\text{--}0.4 \text{ Э}$ ) составляли доли микроватта.

В настоящей работе экспериментально исследован трехмагнонный распад волн намагниченности в касательно намагниченной пленке ЖИГ при импульсном возбуждении и обнаружено новое явление: „просветление“ спин-системы ФП на частоте распадающейся волны намагниченности (накачки), возникающее при больших превышениях входной мощности над порогом через несколько сотен наносекунд после завершения развития процесса параметрического распада (т.е. за задним фронтом „пика просачивания“).

Условия эксперимента были аналогичны условиям экспериментов в работах [8, 10]. Исследования проводились на макете спин-волновой линии задержки, состоящей из двух антенн, сформированных методом фотолитографии на разрезной поликоровой подложке. Расстояние между антennами изменялось в пределах 2–12 мм. Пленка ЖИГ помещалась в макет и намагничивалась внешним магнитным полем, лежащим в плоскости пленки и направленным вдоль осей антенн.

На входную antennу подавались радиоимпульсы длительностью 0.1–100 мкс с несущей частотой 3.3–3.6 Гц. Сигнал с выходной антенны детектировался, и его огибающая регистрировалась осциллографом. Входная мощность устанавливалась с помощью калиброванного аттенюатора. Линия задержки на каждой частоте согласовывалась с СВЧ трактом (КСВН < 1.5).

Рис. 1. Зависимости времени развития параметрической неустойчивости  $\tau$  от мощности входного импульсного сигнала, полученные при трех значениях несущей частоты  $\omega$ .



Для определения характера развития трехмагнитной параметрической неустойчивости в ФП регистрировалась форма прошедшего радиоимпульса. Порог возникновения процессов распада линейно возбуждаемой волны намагниченности фиксировался по появлению характерного „скола“ на

огибающей выходного импульса. Оказалось, что при фиксированном значении входной мощности  $P_{вх}$ , лежащем в области малых превышений над порогом неустойчивости, образование „скола“ происходит через аномально большое время  $\tau_1$ , достигающее 20–100 мкс и зависящее от частоты (волнового числа) распадающейся волны. С увеличением входной мощности время развития неустойчивости  $\tau_1$  резко уменьшается (рис. 1). При больших превышениях  $P_{вх}$  над порогом неустойчивости ( $P_{вх}/P_{пор} \approx 10$ ) на выходном импульсе остается „пик просачивания“, длительность которого слабо зависит от частоты и составляет около 0.5 мкс. Такая же длительность „пика просачивания“ характерна для высококачественных „объемных“ образцов ЖИГ [2].

Существенная особенность развития трехмагнитной параметрической неустойчивости в пленке ЖИГ по сравнению с аналогичным процессом в объемных образцах была зафиксирована нами при больших превышениях входной мощности над порогом ( $P_{вх}/P_{пор} \sim 10^3$ ) в случае распада длинных ( $k < 100 \text{ см}^{-1}$ ) поверхностных волн намагниченности частоты  $\omega$ . Частота параметрически возбуждаемых волн  $\omega/2$  при этом оказывалась вблизи „дна“ спектра объемных волн намагниченности ФП [5, 6]. Особенность состояла в формировании второго (дополнительного) „пика просачивания“ сигнала на частоте  $\omega$  через 200–400 нс после окончания первого „пика просачивания“ длительности  $\tau_1$ . Заметим, что групповое время задержки линейного сигнала на частоте накачки в данном эксперименте составляло 20–50 нс.

Характерные осциллограммы огибающей выходного сигнала на частоте  $\omega/2\pi = 3358 \text{ МГц}$ , демонстрирующие образование дополнительного „пика просачивания“ при изменении напряженности подмагничивающего постоянного поля  $H$  и входной мощности  $P_{вх}$ ,

$P = 85 \text{ мВт}$

$H = 5413$

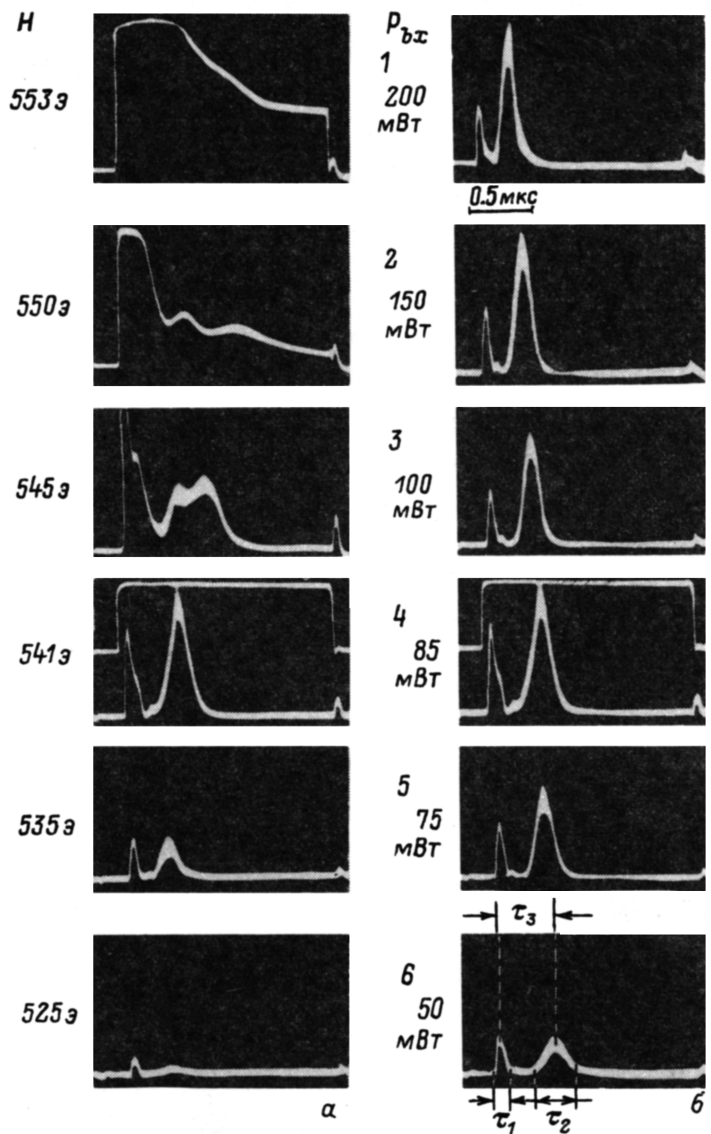


Рис. 2. Осциллограммы огибающей выходного сигнала, демонстрирующие образование дополнительного „пика просачивания“ при изменении напряженности подмагничивающего постоянного поля  $H$  (а) и входной мощности  $P_{bx}$  (б). Верхние осциллограммы а(4), б(4) показывают положение и форму огибающей входного сигнала.

приведены на рис. 2, а, б. Видно, что при данной частоте  $\omega$  и фиксированном значении  $P_{ex} = 85$  мВт существует оптимальное поле  $H = 541$  Э, при котором амплитуда дополнительного „пика просачивания” наибольшая (рис. 2, а (4)). При фиксированном поле подмагничивания ( $H = 541$  Э) амплитуда дополнительного „пика просачивания” растет, а длительность этого пика  $\tau_2$  и его задержки  $\tau_3$  относительно фронта входного импульса, убывает с ростом  $P_{ex}$  (рис. 2, б).

Описанное явление „просветления” спин-системы ФП может быть связано с нарушением фазового синхронизма между волной накачки и параметрически возбужденными волнами. Другим возможным механизмом „просветления” является процесс слияния параметрически возбужденных волн намагниченности с образованием новой волны на частоте накачки. В процессе такого слияния, в частности, может образовываться и уединенная волна намагниченности солитонного типа [11].

Для отчетливого выяснения природы описанного явления требуется дополнительные теоретические и экспериментальные исследования.

С точки зрения практики, существование эффекта „просветления” следует учитывать при конструировании таких нелинейных приборов обработки сигналов, как шумоподавители и ограничители мощности на основе пленок ЖИГ [1].

Авторы выражают благодарность Б.А. Калиникосу за многочисленные ценные обсуждения.

#### Л и т е р а т у р а

- [1] Stitzer S.N., Emtag P.R. // Circuits Systems and Signal Processing. 1985. V. 4. N 1-2. P. 227-252.
- [2] Лакс Б., Баттон К. Сверхвысокочастотные ферриты и ферримагнетики. М.: Мир, 1965. 352 с.
- [3] Венчик О.Г., Калиникос Б.А., Чарторийский Д.Н. // ФТТ. 1977. Т. 19. № 2. С. 387-396.
- [4] Медников А.М. // ФТТ. 1981. Т. 23. № 1. С. 242-245.
- [5] Темирязев А.Г. // ФТТ. 1987. Т. 29. № 2. С. 313-319.
- [6] Калиникос Б.А. // Письма в ЖТФ. 1983. Т. 9. № 13. С. 811-814.
- [7] Мелков Г.А., Шолом С.В. // ФТТ. 1987. Т. 29. № 11. С. 3257-3261.
- [8] Калиникос Б.А., Ковшиков Н.Г., Колдин П.А. Тезисы докладов II Вс. школы-семинара „Спинволновая электроника СВЧ”. Ашхабад, 1985, с. 77-78.

- [9] Гусев Б.Н., Гуревич А.Г., Анисимов А.Н., Чивилева О.А., Винник М.А., Березин И.Л. // ФТТ. 1986. Т. 28. № 10. С. 2969-2974.
- [10] Дудко Г.М., Казаков Г.Т., Кожевников А.В., Филимонов Ю.А. Тезисы докладов региональной конференции „Спинволновые явления в электронике СВЧ”, Краснодар, 1987, с. 119-120.
- [11] Карагазин Ю.Н., Сухоруков А.П., Филиппук Т.С. // Вестник МГУ, серия физика, астрономия. 1978. Т. 19. № 4. С. 91-98.

Ленинградский  
электротехнический  
институт им В.И. Ульянова (Ленина)

Поступило в Редакцию  
18 октября 1988 г.

Письма в ЖТФ, том 15, вып. 1  
05.4; 12

12 января 1989 г.

## ТОНКОСТЕННЫЙ НИОБИЕВЫЙ ЦИЛИНДР КАК СВЕРХПРОВОДЯЩИЙ КВАНТОВЫЙ МАГНИТОМЕТР

В.М. Закосаренко, Е.В. Ильинчев,  
В.А. Тулин

Обычно при исследовании одноконтактных сквидов (ВЧ-сквидов) измеряют напряжение на резонансном контуре  $U_{\sim}$ , индуктивно связанном с датчиком сквида, в зависимости от тока накачки контура  $I_{\sim}$  (ВЧ-ВАХ) и зависимость  $U_{\sim}$  от постоянного магнитного потока через контур датчика сквида при фиксированном  $I_{\sim}$  (сигнальная характеристика сквида) [1].

При исследовании пленочных ВЧ-сквидов на ВЧ-ВАХ некоторых образцов мы обнаружили нелинейности при уровнях накачки, не достигающих характерного плато на ВЧ-ВАХ сквида, т.е. когда индуцированный экранирующий ток в сквиде меньше критического тока слабой связи. Соответствующие этим особенностям сигнальные характеристики (магнитный поток  $\Phi$  в сквиде создавался введением постоянного тока  $I_{\pm}$  в катушку связи) были периодичны, причем период по магнитному потоку через площадь контура датчика для различных образцов варьировался в пределах 5-30  $\Phi_0$  ( $\Phi_0 = \frac{\pi h}{e}$  - квант магнитного потока).

Мы предположили, что наблюдаемые особенности не связаны со свойствами слабой связи, поскольку при таких уровнях  $I_{\sim}$  слабая связь находится в сверхпроводящем состоянии, и подготовили образцы без джозефсоновского контакта. На боковую поверхность вращающегося кварцевого цилиндра  $\varnothing 0.9$  мм магнетронным распылением наносился ниобий толщиной 800-1000 Å. Образцы длиной 5-15 мм помещались в катушку связи  $\varnothing 1$  мм, намотанную в один слой медным проводом  $\varnothing 0.1$  или 0.05 мм, которая включалась